

بررسی تأثیر استفاده توأم از نانوذرات دی‌اکسید تیتانیم و نانوکریستال سلولز بر ویژگی‌های گرمایی، آبگردانی و رنگی بیونانوکامپوزیت‌های نشاسته-PVOH

نسرين جمشيدی کلچاهی، بابک قنبرزاده^{*}، جلال دهقان‌نیا، علی‌اکبر انتظامی و
محمد صوتی خیابانی^{**}

^{*}نگارنده مسئول، نشانی: تبریز، دانشگاه تبریز، دانشکده کشاورزی، کد پستی: ۱۶۴۷۱-۱۶۶۶، دورنگار: ۰۴۱(۶۶۸۶۴۴۶)، پیامنگار: ghanbarzadeh@tabrizu.ac.ir
^{**}به ترتیب: دانشجوی کارشناسی ارشد، دانشیاران گروه علوم و صنایع غذایی دانشکده کشاورزی؛ استاد گروه شیمی پلیمر دانشکده شیمی؛ و استادیار گروه علوم و صنایع غذایی دانشکده کشاورزی دانشگاه تبریز
تاریخ دریافت: ۹۲/۲/۱۱؛ تاریخ پذیرش: ۹۲/۹/۹

چکیده

در این پژوهش، برای بهبود ویژگی‌های کاربردی فیلم‌های بر پایه نشاسته، ابتدا از میزان ثابت اسیدسیتریک و پلی‌وبنیل‌الکل (PVOH) استفاده و پس از آن اثر سطوح مختلف غلظت دو نوع نانوذره نانوکریستال سلولز (CNC) و دی‌اکسید تیتانیم (TiO_2) به صورت توأم و نرم‌کننده گلیسروول (GLY) بررسی شد. آزمون گرماسنجی پویشی افتراقی (DSC) نشان می‌دهد که افزودن CNC و TiO_2 به ترتیب موجب افزایش دمای ذوب و انتقال شیشه‌ای و کاهش دمای ذوب و افزایش دمای انتقال شیشه‌ای در زیست نانوکامپوزیت‌ها می‌شود. سپس اثر غلظت سه افزودنی فوق بر میزان جذب آب، حلالیت در آب و خواص رنگی زیست نانوکامپوزیت بر پایه نشاسته نرم شده (PS) مورد بررسی قرار گرفت و مقادیر غلظت بهینه آنها با طرح مرکزی توسط روش سطح پاسخ (RSM) تعیین گردید. نتایج حاصل از بهینه‌سازی فرمولاسیون با روش سطح پاسخ (RSM) نشان می‌دهد که غلظت حداقل جذب رطوبت و درجه دوم بر میزان جذب رطوبت معنی‌دار و مقادیر بهینه متغیرهای CNC، TiO_2 و GLY برای حداقل جذب رطوبت به ترتیب $0/0/0$ ، $0/30/36$ گرم و $1/118/118$ میلی‌لیتر است. استفاده توأم CNC و TiO_2 باعث بهبود کاهش جذب رطوبت و انحلال‌پذیری در آب زیست نانوکامپوزیت می‌شود و تأثیرگذاری CNC بیشتر از TiO_2 است. مقادیر بهینه متغیرهای TiO_2 و GLY برای حداقل اندیس زردی به ترتیب $0/235$ ، $0/0/6$ گرم و $1/0/6$ میلی‌لیتر است.

واژه‌های کلیدی

دی‌اکسید تیتانیم، زیست نانوکامپوزیت، نانوکریستال سلولز، نشاسته-PVOH

پلیمرهای زیستی، نشاسته بهدلیل زیست‌تخربی‌پذیر

مقدمه

بودن، قیمت ارزان، فراوانی و تشکیل فیلم پیوسته محیط زیست بر اثر پلیمرهای مشتق شده از ترکیبات نفتی که در بسته‌بندی‌های مواد غذایی به کار می‌روند، محققان در دو دهه اخیر به فکر استفاده از پلیمرهای زیستی، به جای پلیمرهای سنتزی افتاده‌اند. در میان

بنابراین برقراری پیوندهای کووالانسی (علاوه بر پیوندهای هیدروژنی) در بین زنجیرهای درشت مولکول نشاسته می‌تواند به بهبود خواص مکانیکی و کاهش حساسیت نسبت به آب در فیلم نشاسته کمک کند (Shi *et al.*, 2007).

استفاده از ترکیبات نانوپرکننده در فیلم نشاسته و تولید نانوکامپوزیت یکی دیگر از راههای بهبود ویژگی‌های این فیلم است. استفاده از این ترکیبات در غلظت بهینه بالقوه باعث بهبود ویژگی‌های مکانیکی، گرمایی و بازدارندگی نانوکامپوزیت‌های حاصل نسبت به پلیمر اولیه می‌شود. بهبود ویژگی‌های مختلف پلیمر در اثر استفاده از نانوپرکنندها مربوط به اندازه کوچک نانوذرات است که در ناحیه بین سطحی^۱، نسبت بعد و توانایی پخش بالایی دارند و در نتیجه، با ایجاد برهم‌کنش‌های قوی با ماتریکس پلیمری باعث بهبود ویژگی‌های مختلف نانوکامپوزیت‌های حاصل می‌شوند (Paralikar *et al.*, 2008; Chen *et al.*, 2009a)

نانوپرکننده‌های متعددی برای تقویت فیلم‌های نشاسته مورد استفاده قرار گرفته‌اند که از آن جمله می‌توان به سیلیکات‌های لایه‌ای، نانولوله‌های کربن و اکسیدهای فلزی اشاره کرد (Mahshid *et al.*, 2006). اخیراً پرکننده‌های حاصل از منابع تجدیدپذیری مانند سلولز، نشاسته و کیتین مورد توجه قرار گرفته‌اند. مزایای این ترکیبات عبارت‌اند از زیست‌تخربی‌پذیری، غیرسمی بودن، فراوانی در طبیعت، قیمت پایین، دسترسی آسان، تجدیدپذیری و سهولت اصلاح شیمیایی (Chen *et al.*, 2009a; Chang *et al.*, 2010) نانوکریستال‌سلولز^۲ (CNC) کوچکترین جز ساختاری گیاهان است و حداقل یک بعد در مقیاس نانومتر (۱۰۰-۱۱۰۰ نانومتر) دارد. این ماده بهدلیل چگالی پایین (۱/۳۵

از آنها را در بسته‌بندی مواد غذایی محدود می‌سازد (Cao *et al.*, 2008a; Ghanbarzadeh *et al.*, 2010) یکی از راههای بهبود ویژگی‌های فیلم نشاسته، اختلاط آن با پلیمرهای دیگر مانند پلی‌وینیل الکل^۳ (PVOH) است (Majdzadeh *et al.*, 2010). پلی‌وینیل الکل یکی از رایج‌ترین پلیمرهای سنتزی قطبی تولید شده در دنیا است و زیست تخریب‌پذیری آن در محیط زیست مهم‌ترین ویژگی این پلیمر است (Ramaraj, 2007). وجود گروه‌های هیدروکسیل در نشاسته و PVOH و در نتیجه برقراری پیوندهای هیدروژنی بین آنها قابلیت امتصاص تخریب‌پذیری و بهبود ویژگی‌های فیزیکی ترکیبات حاصل از آن را بالقوه افزایش می‌دهد (Majdzadeh *et al.*, 2010). پلی‌وینیل الکل نسبت به نفوذ حللا و روغن مقاوم است و مانند یک بازدارنده قوی در برابر اکسیژن و آroma عمل می‌کند (Paralikar *et al.*, 2008). مطالعات گوناگون نشان داده‌اند که افروزن پلیمرهای سنتزی قطبی مانند PVOH به نشاسته باعث بهبود ویژگی‌های فیزیکی و مکانیکی فیلم حاصل می‌شود. ماوو و همکاران (Mao *et al.*, 2000) برای غلبه بر شکنندگی نشاسته نرم شده^۴ از PVOH استفاده کردند. سیدرامایا و سوماسهکار (Siddaramaiah & Somashekar, 2004) مشاهده کردند که افزودن PVOH به نشاسته باعث افزایش استحکام کششی مخلوط حاصل می‌شود.

یکی دیگر از راههای بهبود ویژگی‌های فیلم نشاسته، اصلاح شیمیایی نشاسته است. اسیدسیتریک یکی از ترکیبات اتصال‌دهنده مناسب برای نشاسته بهشمار می‌رود، زیرا سمی نیست و در عین حال روش استفاده از آن ساده است، و قابلیت بهبود خواص کاربردی فیلم نشاسته را نیز دارد. در اثر حرارت دادن، گروه‌های کربوکسیل اسیدسیتریک می‌توانند با گروه‌های هیدروکسیل در دو مولکول نشاسته مجاور، اتصالات عرضی برقرار کنند.

1 - Poly Vinyl Alcohol
3 - Interfacial Area

2- Plasticized Starch
4 - Celloluse Nanocrystal

است. در این پژوهش، تأثیر غلظت‌های مختلف نانوویسکر سلولز و نانوذرات دیاکسید تیتانیم و گلیسرول به طور هم‌زمان بر میزان جذب رطوبت، انحلال‌پذیری در آب، و خواص رنگی فیلم‌های زیست‌نانوکامپوزیت PS/CNW/TiO₂ بررسی و مقادیر بهینه آنها با روش سطح پاسخ تعیین شده است.

سانتی‌مترمکعب/گرم)، نسبت بعد بالا (بیش از ۱۰۰)، ویژگی‌های مکانیکی مطلوب (مدول یانگ بالا در حدود ۱۵۰ گیگاپاسکال و استحکام کششی در حدود ۱۰ گیگاپاسکال) و توانایی تشکیل شبکه، به عنوان تقویت‌کننده ماتریکس‌های پلیمری مورد توجه قرار دارد (Podsiadlo *et al.*, 2005; Chen *et al.*, 2009a; Cheng *et al.*, 2009;)

مواد و روش‌ها

مواد

در این پژوهش، نشاسته سیب‌زمینی دارای ناخالصی پروتئین حدود ۰/۳۵-۰/۶ درصد، چربی حدود ۵/۰ درصد و رطوبت حدود ۱۲ درصد (از شرکت صنایع تبدیلی الوند همدان)، نانوذرات TiO₂ (دگوسا P25)، از شرکت Evonik Degussa GmbH به صورت گرانول‌های ریز سفید رنگ (از شرکت Dr Mojallali، پلی‌وینیل‌الکل با درجه پلیمریزاسیون ۱۴۵۰۰۰، سولفات کلسیم، نیترات کلسیم و گلیسرول (از نماینده شرکت مرک) خریداری و به کار گرفته شدند. نانوکریستال مورد استفاده نیز از هیدرولیز اسیدی الیاف پنبه به دست آمد.

دستگاه‌ها: برای بررسی خواص گرمایی، گرماسنج پویشی تفاضلی مدل F3 200 Netzsch (ساخت آلمان) به کار گرفته شد و رنگ نمونه‌ها با دستگاه رنگ‌سنج بر پایه پارامترهای هانتر بر حسب a و b (ساخت گروه مکانیزاسیون دانشگاه تبریز) ارزیابی شد.

روش تهیه سوسپانسیون نانوکریستال‌سلولز: لینتر پنبه با قیچی به قطعات کوچک تقسیم شد و در محلول ۲ درصد وزنی سود به مدت ۱۲ ساعت در دمای اتاق، به منظور حذف ناخالصی‌ها، به طور مداوم هم زده شد و در پایان کار پس از شستن با آب مقطر، عمل هیدرولیز اسیدی با استفاده از اسید‌سولفوریک ۶۵ درصد وزنی صورت گرفت. هیدرولیز در دمای ۴۵ درجه سلسیوس به مدت ۱ ساعت با هم زدن

نانوکریستال سلولز را عموماً با روش‌های مختلف فیزیکی به دست می‌آورند مانند تیمار برشی، هوموزنایزر با فشار بالا یا پالایش تحت فشار بالا، اولتراسوند با شدت بالا و تیمارهای شیمیایی مانند هیدرولیز اسیدی، هیدرولیز آنزیمی و روش‌های سنتزی، از منابع سلولزی. در تیمار شیمیایی، با هیدرولیز اسیدی قوی نواحی بی‌شکل (آمورف) فیبر سلولز حذف و فیبریل‌های سلولز با اندازه نانو تولید می‌شود (Aziz Samir *et al.*, 2005; Chen *et al.*, 2009b; Cheng *et al.*, 2009;)

استفاده از نانوذرات فلزی مانند TiO₂ روش جدیدی در تولید زیست‌نانوکامپوزیت‌ها به شمار می‌رود. به کارگیری نانوذرات دیاکسید تیتانیم^۱ در صنعت غذا و بسته‌بندی به دلیل بی‌اثر بودن، غیرسمی و ارزان بودن و داشتن پتانسیل فعالیت ضد میکروبی مورد توجه قرار گرفته است. استفاده از TiO₂ در ماتریس پلیمری مواد UV بسته‌بندی ترکیبات غذایی در حضور تابش پرتوهای موجب از بین‌رفتن ترکیبات بدبو، فساد، میکروارگانیزم‌های بیماری‌زا، لکه‌های رنگی و عوامل آلرژی‌زا خواهد شد. همچنین، افزودن نانوذرات TiO₂ به فیلم‌ها باعث بهبود خصوصیات مکانیکی و فیزیکو‌شیمیایی آنها می‌شود (Xiao *et al.*, 2004; Liorens *et al.*, 2012).

با توجه به کارهای کتابخانه‌ای، در هیچ‌یک از پژوهش‌ها به تأثیر هم‌زمان دو نوع نانوذره بر فیلم‌های بر پایه نشاسته و تعیین مقادیر بهینه آنها پرداخته نشده

زدن حرارت داده شد و در ادامه، مقدار $0/3$ گرم پلی‌وینیل الكل (۱۰ درصد وزن نشاسته) که در ۲ میلی‌لیتر آب مقطر به صورت جداگانه در ۸۰ درجه سلسیوس حرارت داده شده بود، به مخلوط فوق اضافه و به مدت ۱۰ دقیقه در دمای ۸۰ درجه سلسیوس به طور ملایم هم زده شد. سوسپانسیون نانوکریستال سلولز با مقادیر ۳ ، $۴/۰۳$ ، $۹/۹۷$ و $۱۵/۹$ و ۲۰ درصد (بر مبنای وزن نشاسته) تهیه و به مدت ۱۰ دقیقه فراصوت شد و به مخلوط نشاسته/پلی‌وینیل الكل اضافه گردید و در ادامه، درصدهای مختلفی از محلول مادر TiO_2 با مقادیر $۱/۵۹$ ، $۳/۹۲$ ، $۳/۶۲۵$ و ۸ درصد (بر مبنای وزن نشاسته)، قطره‌قطره و همراه با هم زدن اضافه گردید. سپس به منظور توزیع بهتر نانوذرات، این محلول به مدت ۱۰ دقیقه در داخل حمام آبی دستگاه اولتراسوند قرار داده شد و با امواج فراصوت منتشر شده از این دستگاه، تیمار شد. درصدهای مختلفی از گلیسروول (۳۵ ، $۴۳/۳۳$ ، $۵۳/۳۳$ ، $۶۶/۶۶$ و $۷۳/۳۳$ درصد) به آن اضافه و به مدت ۱۰ دقیقه هم زده شد. در پایان، حدود $۱۲/۵$ میلی‌لیتر از محلول، داخل پتری دیش پلی‌استایرنی ریخته و در دمای ۴۵ درجه سلسیوس به مدت ۱۵ ساعت خشک شد.

اندازه‌گیری میزان انحلال پذیری در آب: منظور از انحلال پذیری در آب درصد ماده خشک فیلم است که پس از ۲۴ ساعت غوطه‌وری در آب، به حالت محلول درمی‌آید (Gontard *et al.*, 1994).

نمونه‌های فیلم برای رسیدن به وزن خشک اولیه، به مدت ۲۴ ساعت در دسیکاتور حاوی سولفات کلسیم قرار داده شدند. پس از آن، ۵۰۰ میلی‌گرم از نمونه‌ها در ۵۰ میلی‌لیتر آب مقطر ریخته و به صورت مقطعی هم زده و در دمای ۲۳ درجه سلسیوس به مدت ۲۴ ساعت قرار داده شد. سپس فیلم‌ها از آب بیرون آورده و دوباره به دسیکاتور حاوی سولفات کلسیم منتقل شدند تا به وزن ثابت برسند. با توزیع دوباره نمونه‌ها، وزن

مداوم صورت پذیرفت. سوسپانسیون به دست آمده با آب قطره مخلوط و با دستگاه سانتریفیوژ مدل BHG 500 (ساخت شرکت Zentrifuge آلمان) به مدت ۱۵ دقیقه سانتریفیوژ شد. سپس محلول بالایی تخلیه و با آب مقطر جایگزین شد. سانتریفیوژ کردن حدود ۸ بار تکرار شد تا pH محلول بالایی به بالای ۴ برسد.

در مرحله بعد، دیالیز کردن به کمک غشاهاي دیالیزی اجرا شد تا یون‌های سولفات از سوسپانسیون حذف و pH خنثی شود. سوسپانسیون CNC در غشاهاي دیالیز ریخته شد، غشاها در داخل آب مقطر قرار داده شدند و چند بار در روز آب مقطر تعویض شد. بعد از خنثی شدن pH سوسپانسیون، تیمار مکانیکی شدید با هوموژنایزر (ULTRA-TURRAX T25 Basic Dispenser) (مدل سری ULTRA-TURRAX T25 Basic Dispenser) با سرعت ۴۵۰۰ دور در دقیقه به مدت ۱ ساعت اجرا شد. سرانجام، سوسپانسیون به مدت ۳۰ دقیقه تحت تیمار فراصوتی با فواصل زمانی ۱۰ دقیقه قرار گرفت (Tian *et al.*, 2008). با اجرای آزمون پراش پرتو ایکس (XRD) و میکروسکوپ الکترونی عبوری (TEM) از نانوذرات بودن سوسپانسیون نانوکریستال سلولز سنتر شده، اطمینان حاصل شد.

روش تهیه فیلم نانوکامپوزیت نشاسته اصلاح شده-پلی‌وینیل الكل - نانوکریستال سلولز - نانوذرات دی‌اکسید تیتانیم: ابتدا محلول مادر ۱ درصد دی‌اکسید تیتانیم به مقدار ۱۰۰ میلی‌لیتر تهیه و به مدت ۶ ساعت با همزن مغناطیسی با سرعت ۱۰۰۰ دور در دقیقه هم زده شد. محلول سپس به مدت ۱۰ دقیقه داخل حمام آبی دستگاه اولتراسوند قرار داده شد و با امواج منتشر شده از این دستگاه، تیمار گردید. در خلال این مدت، ابتدا مقدار ثابت اسیدسیتریک به اندازه ۱۰ درصد وزن نشاسته (۰/۳ گرم) در ۳ میلی‌لیتر آب حل و پس از آن ۳ گرم نشاسته در آن پخش گردید. محلول فوق در ۸۰ درجه سلسیوس به مدت ۳۰ دقیقه در بن‌ماری همراه با هم

انتقال شیشه‌ای به عنوان نقطه میانه بین شروع و پایان تغییرات منحنی در جریان گرمایی در نظر گرفته شد.
رنگ‌سنجی: رنگ نمونه‌ها با دستگاه هانترب (ساخته شده در دانشکده کشاورزی دانشگاه تبریز)، ارزیابی شد. میزان رنگ، با استفاده از پارامترهای هانترب بر حسب روش‌نایی^۳ (L^* ، قرمزی-سبزی (a^*) و زردی-آبی (b^*)) بیان شد. اندیس زردی^۴ (YI) با استفاده از رابطه ۳ محاسبه شد (Bolin *et al.*, 1991)

$$YI = \frac{142/86b}{L} \quad (3)$$

داده‌ها طی پنج اندازه‌گیری از نقاط مختلف فیلم‌ها (یکی در مرکز و بقیه از پیرامون) به دست آمد و از آنها میانگین گرفته شد.

تحلیل آماری

برای بهینه‌سازی ویژگی‌های فیزیکی بیونانوکامپوزیت‌های نشاسته پلی‌وینیل الکل، از طرح آماری روش سطح پاسخ^۵ (RSM) استفاده شد. در این پژوهش، از طرح مركب مرکزی^۶ (RSMCC0318) با ۱۸ آزمایش و ۳ تکرار استفاده شد که شامل ۴ آزمایش در نقطه مرکزی است.

اشر تغییرات غیر قابل توجیه در پاسخ ناشی از عامل‌های خارجی، با تصادفی کردن ترتیب آزمایش‌ها کاهش داده شد. متغیرهای مستقل طرح در پنج سطح ($1/682$ ، -1 ، صفر، $+1$ و $+1/682$) از این قرارند: غلظت نانوذرات دیاکسید تیتانیم (X_1 ، گرم) در سطوح (صفر، $0/1176$ ، $0/1176$ و $0/240$ گرم)، غلظت نانوکریستال سلوولز (X_2 ، گرم) در سطوح (صفر، $0/0476$ ، $0/0476$ و $0/0477$ گرم)، و غلظت گلیسیروول (X_3 ، میلی‌لیتر) در سطوح ($1/050$ ، $1/050$ ، $1/050$ و $2/2$ میلی‌لیتر). متغیر وابسته نیز شامل: میزان جذب

خشک نهایی به دست آمد. درصد کل ماده محلول (TSM) از رابطه ۱ محاسبه گردید:

$$\%TSM = \frac{\text{وزن خشک نهایی} - \text{وزن خشک اولیه}}{\text{وزن خشک اولیه}} \times 100 \quad (1)$$

این آزمون در مورد هر یک از نمونه‌ها سه بار تکرار شد. اندازه‌گیری میزان جذب رطوبت: برای اندازه‌گیری میزان جذب رطوبت فیلم‌ها، از روش آنگلز و دافرسن (Angles & Dufresne, 2001) استفاده شد. نمونه‌هایی از فیلم‌ها با ابعاد 20×20 میلی‌متر تهیه و در دسیکاتور حاوی سولفات کلسیم (با رطوبت نسبی صفر درصد) به مدت ۲۴ ساعت قرار داده شد. پس از توزین اولیه، نمونه‌ها به دسیکاتور حاوی محلول اشباع نیتریت کلسیم در 55 درصد = RH (RH) انتقال و در دمای $20-25$ درجه سلسیوس قرار داده شدند. وزن نمونه‌ها در زمان‌های مختلف تا رسیدن به وزن ثابت اندازه‌گیری و میزان جذب رطوبت از رابطه ۲ محاسبه گردید:

$$\frac{W_t - W_0}{W_0} \times 100 = \text{جذب رطوبت (درصد)} \quad (2)$$

W_0 = وزن اولیه نمونه (گرم)؛ و W_t = وزن نمونه پس از زمان t در رطوبت نسبی 55 درصد (گرم) است. این آزمون برای هر یک از نمونه‌ها سه بار تکرار شد.

اندازه‌گیری خواص گرمایی: ویژگی‌های گرمایی نمونه‌ها با گرماسنج پویشی افتراقی^۷ (DSC) اندازه‌گیری شد. دستگاه با ایندیوم و نقره کالیبره شد. ظرف آلومینیومی خالی به عنوان مرجع و اتمسفر نیتروژن استفاده شد. نمونه‌هایی با وزن تقریبی 3 میلی‌گرم با سرعت 10 درجه سلسیوس بر دقیقه در گستره دمایی 30 تا 320 درجه سلسیوس پویش شدند. از روی دمانگاشت به دست آمده، دمای ذوب و دمای انتقال شیشه‌ای تعیین شد. دمای

1 - Differential Scanning Calorimetry

3- Yellowness Index

5- Central Composite Design

2- Lightness

4- Response Surface Methodology

$$Y = \beta_0 + \sum_{i=1}^k \beta_i X_i + \sum_{i=1}^k \beta_{ii} X_i^2 + \sum_{\substack{i=1 \\ i < j}}^{k-1} \sum_{j=2}^k \beta_{ij} X_i X_j \quad (4)$$

که در آن، Y متغیر وابسته یا پاسخ مدل؛ β_0 ، β_i و β_{ij} به ترتیب ضرایب رگرسیون برای عامل‌های ضریب ثابت (عرض از مبدأ)، ضریب اثر خطی، ضریب اثر درجه دوم و ضریب اثر متقابل؛ و X_i و X_j متغیرهای مستقل هستند.

روطوت، انحلال‌پذیری در آب و خواص رنگی فیلم‌ها است.

جدول ۱ مشخصات نمونه‌ها را نشان می‌دهد. نرم‌افزارهای SAS 9.1 (انگلستان) و Statistica (آمریکا) برای تجزیه و تحلیل داده‌ها و رسم نمودارهای سطح پاسخ استفاده شد. رابطه چند جمله‌ای درجه دوم استفاده شده در تجزیه و تحلیل، طبق رابطه ۴ است:

جدول ۱- متغیرهای اصلی در ۵ سطح برای بهینه‌سازی میزان جذب رطوبت، انحلال‌پذیری در آب و خواص رنگی بیونانوکامپوزیت‌های PS/PVOH/CNC/TiO₂

سطوح کدبندی شده متغیر					نام ریاضی متغیر	واحد	نوع متغیر
-۱/۶۸۲	-۱	۰	+۱	+۱/۶۸۲			
۰	۰/۰۴۷۶	۰/۱۱۷۶	۰/۱۸۷۶	۰/۲۴	X ₁	گرم	غلظت نانوذرات دی‌اکسید تیتانیم
۰	۰/۱۲۱	۰/۲۹۹	۰/۴۷۷	۰/۶	X ₂	گرم	غلظت نانوکربستال سلولز
۱/۰۵	۱/۳	۱/۶	۲	۲/۲	X ₃	میلی‌لیتر	غلظت گلیسرول

یک پیک ذوب در دمای ۲۳۳/۳ درجه سلسیوس را نشان می‌دهد که مربوط به ذوب نواحی بلوری تشکیل شده طی رتروگراداسیون نشاسته است. همچنین، به علت مشاهده نشدن پیک ذوب برای PVOH می‌توان نتیجه گرفت که یا هم‌بلورینگی با نشاسته رخ داده یا به دلیل کوچکی پیک و نزدیکی به پیک نشاسته، این پیک ذوب قابل ثبت نبوده است. همان‌طور که در شکل ۱ و جدول ۳ نشان داده شده است، با افزودن CNC، دمای ذوب فیلم‌های زیست نانوکامپوزیت به طور جزئی از ۲۳۶ تا ۲۳۳ درجه سلسیوس افزایش می‌یابد. افزایش دمای ذوب با افزودن CNC به فیلم نشاسته -PVOH، به دلیل حضور تقویت‌کننده در ماتریکس پلیمر نشاسته و در نتیجه افزایش نظم و اندازه بلورها در ماتریکس است (Kvien *et al.*, 2007). افزودن CNC می‌تواند با اصلاح جهت‌گیری و آرایش زنجیرهای نشاسته، موجب افزایش نظم، اندازه و فشردگی بلورها و در نتیجه افزایش دمای ذوب شود. همچنین، افزایش هسته‌زایی می‌تواند موجب

نتایج و بحث ویژگی‌های گرمایی

پلیمرهای نیمه‌بلوری مانند نشاسته، سه نوع انتقال گرمایی را نشان می‌دهند که عبارت‌اند از: انتقال شیشه‌ای مربوط به فاز بی‌شکل (آمورف)، ذوب مربوط به فاز بلوری، و کریستالیزاسیون مربوط به فاز قابل بلورینه شدن (Almasi *et al.*, 2010). دماهای ذوب، بلورینگی و انتقال شیشه‌ای می‌توانند نشان‌دهنده وضعیت ریزاسختار و برخی از خواص فیزیکی کاربردی مانند مقاومت گرمایی، نفوذ‌پذیری و ویژگی‌های مکانیکی باشند. برای مثال دمای انتقال شیشه‌ای پایین می‌تواند نشانگر نفوذ‌پذیری و انعطاف‌پذیری بالای فیلم باشد. برای اجرای آزمون DSC، فیلم‌های نشاسته -PVOH، با مقداری بالای نانوذرات در غلظت ثابت گلیسرول (۰/۰۶ گرم CNC و ۰/۲۴ گرم TiO₂) آماده شدند. دمای ذوب و انتقال شیشه‌ای فیلم‌های نشاسته‌ای در جدول ۲ آورده شده است و منحنی‌های مربوط در شکل ۱ رسم شده‌اند. فیلم نشاسته -PVOH

نشاسته افزایش و تحرک زنجیرهای نشاسته کاهش می‌یابد. در نتیجه، از توانایی زنجیرها در انتقال به سطح بلورها کاسته می‌شود و بالطبع بلورهای به وجود آمده نیز به اندازه کافی رشد نمی‌کنند و اندازه کوچکتری خواهند داشت. دمای انتقال شیشه‌ای زیست نانوکامپوزیت نشاسته- PVOH با افزودن نانوذرات TiO_2 ، از ۱۵۵/۲ به ۱۷۶ درجه سلسیوس افزایش یافته است که افزایش در دمای انتقال شیشه‌ای به ایجاد برهمنش بین گرووهای هیدروکسیل نشاسته و دیاکسید تیتانیم و محدود شدن تحرک زنجیرهای آمورف نشاسته مربوط می‌شود. مطالعات از طریق شبیه‌سازی‌های دینامیک مولکولی^۱ نیز نشان داده است که تحرک زنجیرهای واقع شده در مجاورت سطح نانوذرات کاهش می‌یابد (Li et al., 2011). نتایج مطالعات تاو و همکاران (Tao et al., 2007) نشان می‌دهد که پایداری گرمایی فیلم‌های کیتوزانی با افزایش میزان نانوذرات TiO_2 و تشکیل پیوندهای هیدروژنی بیشتر بین نانوذرات و کیتوزان افزایش می‌یابد.

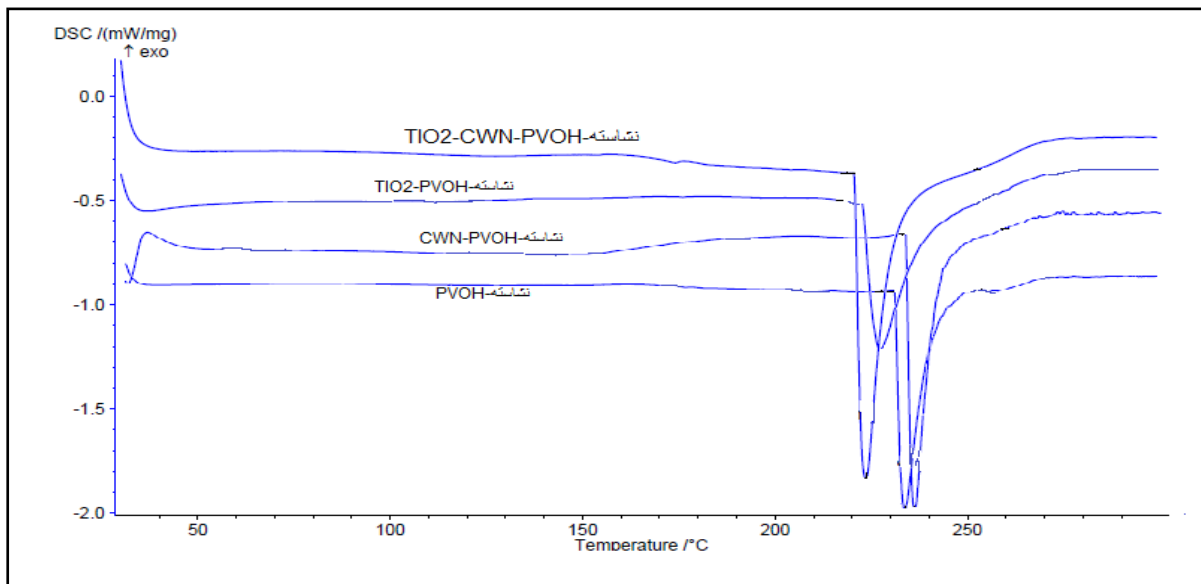
افزودن همزمان غلظت بالای CNC و TiO_2 به فیلم نشاسته- PVOH ، نیز موجب کاهش دمای ذوب از ۲۳۳/۳ به ۲۲۴/۴ درجه سلسیوس و افزایش دمای انتقال شیشه‌ای از ۱۵۵/۲ به ۱۷۴/۸ درجه سلسیوس شده است. همان‌طور که اشاره شد، کاهش دمای ذوب در نانوکامپوزیت نشاسته- PVOH را می‌توان ناشی از افزایش برهمنش‌ها و پیکوزیتی محلول تشکیل‌دهنده فیلم در نتیجه افزایش مقدار نانوذره در آن، و در نتیجه افزایش انرژی فعال‌سازی دیفوزیون زنجیرها و بدین ترتیب کاهش انتقال جرم و کاهش بلورینگی دانست. همچنین به‌دلیل توزیع غیریکنواخت و انبوه شدن نانوذرات، نسبت ابعادی نانوذره کاهش می‌یابد و قادر به ایفای مناسب نقش هسته‌زایی و اصلاح جهت‌گیری زنجیرها در ماتریکس زیست پلیمری نیست.

افزایش درصد بلورینگی و آنتالپی ذوب گردد. دمای انتقال شیشه‌ای فیلم بیوکامپوزیت نشاسته- PVOH در حدود ۱۵۵/۲ درجه سلسیوس است و با افزودن CNC ، به ۲۱۳/۳ درجه سلسیوس افزایش می‌یابد. افزایش در دمای انتقال شیشه‌ای مربوط به پرکردن فضاهای بین زنجیری و تشکیل برهمنش بین گرووهای هیدروکسیل نشاسته و سلوژ و در نتیجه محدود شدن تحرک زنجیرهای نشاسته در نواحی بی‌شکل (آمورف) است. لو و همکاران (Lu et al., 2005)، در بررسی تأثیر مقدار CNC در فیلم نشاسته مشاهده کردند که دمای انتقال شیشه‌ای افزایش می‌یابد که آن را به ایجاد برهمنش‌های هیدروژنی بین گرووهای هیدروکسیل مولکول‌های نشاسته و سلوژ نسبت دادند.

در برخی منابع اشاره شده است که افزودن TiO_2 موجب افزایش دمای ذوب می‌شود که نشان‌دهنده بلورینگی کامل‌تر و تشکیل بلورهای بزرگ‌تر و پایدارتر در حضور TiO_2 است (Oleyaei, 2012). اما در این پژوهش دیده شد که افزودن TiO_2 به میزان ۸ درصد به فیلم نشاسته- PVOH ، منجر به کاهش دمای ذوب شده است که می‌توان کاهش دمای ذوب فیلم بیوپلیمری در حضور مقادیر بالای نانوذرات TiO_2 را به این دو پدیده، نسبت داد: اول، توزیع غیریکنواخت و انبوه شدن نانوذرات در غلظت‌های بالا که در این حالت، تعداد گرووهای عاملی نانوذرات TiO_2 (گرووهای OH) که قادر هستند با زنجیرهای نشاسته برهمنش نمایند-کاهش می‌یابد و در نتیجه سازگاری بین پرکننده غیرآلی و ماتریس آلی نیز پایین می‌آید. دوم، چون کاهش دمای ذوب بر کاهش نظم و اندازه بلورهای پلیمر دلالت دارد، بنابراین پدیده ذکر شده احتمالاً ناشی از ایجاد اختلال در تشکیل، گسترش، و رشد بلورهای منظم نشاسته است، بدین صورت که با افزایش میزان پرکننده در ماتریکس زیست پلیمر، تعداد پیوندهای هیدروژنی بین نانوذرات TiO_2 و زنجیرهای

جدول ۲ - دمای انتقال شیشه‌ای و دمای ذوب فیلم‌های نشاسته‌ای

ترکیب فیلم	نشاسته	دمای انتقال شیشه‌ای (درجه سلسیوس)	دمای ذوب (درجه سلسیوس)
PVOH	نשاسته	۲۳۳/۳	۱۵۵/۲
CNC-PVOH	نشاسته درصد ۲۰	۲۳۶	۲۱۳/۳
TiO ₂ -PVOH	نشاسته درصد ۸	۲۲۷/۹	۱۷۶
TiO ₂ -CNC-PVOH	نشاسته درصد ۲۰	۲۲۴/۴	۱۷۴/۸



شکل ۱ - منحنی DSC فیلم‌های بیونانوکامپوزیت نشاسته PVOH حاوی مقادیر بالای CNC و TiO₂

در جدول ۳ آورده شده است. کمترین میزان جذب رطوبت به میزان ۷/۱۴ درصد در نمونه‌های شماره ۱۷ و ۱۸ (با مشخصات TiO₂: ۰/۱۱۷۶ گرم، CNC: ۰/۱۱۷۶ گرم و GLY: ۰/۲۹۹ گرم) و بیشترین میزان جذب رطوبت به میزان ۱۵/۹۶ درصد در نمونه ۲ (با مشخصات TiO₂: ۰/۰۴۷۶ گرم، CNC: ۰/۱۲۱ گرم و GLY: ۰/۰۰۴۷۶ میلی‌لیتر) مشاهده می‌شود.

نتایج تجزیه و تحلیل واریانس برای میزان جذب رطوبت در مرحله بهینه‌سازی، در جدول ۴ نشان داده شده است. با توجه به اطلاعات این جدول، مشاهده می‌شود که مقادیر P برای مدل (<0.05) و برای عدم برآش داده‌ها با مدل^۱ ($0.20/0$)، تأییدی است بر تطابق خوب مدل با

نتایج بهینه‌سازی میزان جذب رطوبت

یکی از پارامترهای مورد توجه در تعیین نوع ماده بسته‌بندی مورد استفاده در محصول غذایی، رطوبت نسبی محل نگهداری و توزیع آن در ماده غذایی است زیرا اگر حساسیت ماده بسته‌بندی نسبت به رطوبت بالا باشد، با قرارگیری در محیطی با رطوبت نسبی بالا، ممکن است خواص کاربردی آن دچار تغییر شود و به ایجاد تغییرات کیفی و کاهش ماندگاری محصول بسته‌بندی شده بیانجامد.

نتایج آزمایش‌های مرحله بهینه‌سازی تأثیر نانوذرات دی‌اکسید تیتانیم، نانوکریستال سلولز و گلیسرول روی میزان جذب رطوبت آب فیلم، که میانگین سه تکرار است،

بررسی تأثیر استفاده تؤمن از نانوذرات دیاکسید...

دوم، میزان غلظت CNC به صورت خطی و درجه دوم، و GLY به صورت خطی و درجه دوم روی میزان جذب رطوبت تأثیرگذار هستند.

مدل خلاصه شده به دست آمده برای پیش‌بینی تأثیر نانوذرات دیاکسید تیتانیم، نانوکریستال سلوزل و گلیسروول بر میزان جذب رطوبت بعد از حذف عوامل غیرمعنی دار برابر رابطه ۵ به دست می‌آید:

$$Y = 39/8 - 51/77 X_2 - 28/54 X_3 + 366/46 X_1^2 \quad (5) \\ + 61/24 X_2^2 + 10/24 X_3^2$$

داده‌های آزمایشی. همچنین، مقدار عددی ضریب تبیین R^2_{adj} برای مدل رگرسیونی به دست آمده ۷۵/۱۶ درصد است. بنابراین می‌توان نتیجه گرفت که مدل رگرسیونی توانسته است رابطه بین متغیرهای مستقل (نانوذرات دیاکسید تیتانیم، نانوکریستال سلوزل و گلیسروول) و متغیر وابسته (میزان جذب رطوبت فیلم‌ها) را نشان دهد و پیش‌بینی کند. با توجه به مقادیر P و F در جدول تجزیه واریانس (جدول ۴)، اثرهای خطی و درجه دو اجزای مدل X_2^2 , X_3^2 , X_2 , X_3 , ($P < 0.05$) معنی دار است. به عبارت دیگر، میزان غلظت TiO_2 به صورت درجه

جدول ۳- طرح مرکب مرکزی برای بهینه‌سازی میزان جذب رطوبت، انحلال پذیری در آب و خواص رنگی بیونانوکامپوزیت‌های PS/PVOH/CNC/TiO₂

YI	L	انحلال پذیری		جذب رطوبت (درصد)	GLY (میلی لیتر)	CNC (گرم)	TiO_2 (گرم)	متغیرهای بدون کد*			متغیرهای کددار	تیمار
		پاسخ‌های به دست آمده در مرحله بهینه‌سازی*	پاسخ‌های به دست آمده در مرحله بهینه‌سازی*					X_3	X_2	X_1		
۵/۱۸ ± ۰/۳	۵۷/۱۸ ± ۰/۶	۱۹/۵۱ ± ۰/۴۴	۱۳/۴۸ ± ۰/۴	۱/۳	۰/۱۲۱	۰/۰۴۷۶	-۱	-۱	-۱	۱		
۳/۸۴ ± ۱/۲	۵۶/۸۵ ± ۰/۸	۲۶/۳۶ ± ۰/۶۵	۱۵/۹۶ ± ۰/۴	۲	۰/۱۲۱	۰/۰۴۷۶	۱	-۱	-۱	۲		
۶/۰۵ ± ۰/۱	۵۶/۵۷ ± ۰/۳	۱۱/۴۰ ± ۰/۵۰	۱۰/۱۱ ± ۰/۴	۱/۳	۰/۴۷۷	۰/۰۴۷۶	-۱	۱	-۱	۳		
۴/۸۲ ± ۱/۶	۵۶/۵۷ ± ۰/۴	۲۴/۳۴ ± ۰/۹	۱۴/۱۴ ± ۰/۴	۲	۰/۴۷۷	۰/۰۴۷۶	۱	۱	-۱	۴		
۴/۹۶ ± ۰/۷۵	۵۶/۰ ۹ ± ۰/۹	۲۰/۶۸ ± ۰/۲۹	۱۳/۴۸ ± ۰/۴	۱/۳	۰/۱۲۱	۰/۱۸۷۶	-۱	-۱	۱	۵		
۵/۱ ± ۰/۹	۵۷/۰ ۷ ± ۰/۶۵	۱۸/۷۵ ± ۰/۱۳	۱۴/۰ ۱ ± ۰/۲	۲	۰/۱۲۱	۰/۱۸۷۶	۱	-۱	۱	۶		
۶/۴ ± ۰/۹	۵۶/۹۶ ± ۰/۰۹	۱۶/۵۱ ± ۰/۲۵	۱۲/۶۴ ± ۰/۴	۱/۳	۰/۴۷۷	۰/۱۸۷۶	-۱	۱	۱	۷		
۱۰/۱۹ ± ۱/۳	۵۶/۸۹ ± ۰/۸	۳۲/۹۱ ± ۰/۹۸	۱۳/۳۳ ± ۰/۳	۲	۰/۴۷۷	۰/۱۸۷۶	۱	۱	۱	۸		
۴/۵۶ ± ۲	۵۶/۲۵ ± ۰/۳	۱۲/۱۷ ± ۰/۵۳	۱۰/۰ ۳ ± ۰/۲	۱/۶۵	۰/۲۹۹	-۰/۰۰۰ ۱	۰	۰	-۱/۶۸۲	۹		
۴/۰ ۱ ± ۰/۸	۵۷/۵۵ ± ۰/۲	۳/۹۷ ± ۰/۵	۱۳/۰ ۸ ± ۰/۳	۱/۶۵	۰/۲۹۹	۰/۲۳۵	۰	۰	۱/۶۸۲	۱۰		
۱/۳ ± ۰/۰۶	۵۷/۵۹ ± ۰/۱	۲۴/۱۳ ± ۰/۳۸	۱۳/۹۵ ± ۰/۵	۱/۶۵	-۰/۰۰۰ ۳	۰/۱۱۷۶	۰	-۱/۶۸۲	۰	۱۱		
۵/۶۵ ± ۰/۰۱	۵۷/۳۹ ± ۰/۹	۱۵/۷۸ ± ۰/۲۴	۱۰/۰ ۸ ± ۰/۵	۱/۶۵	۰/۵۹۸	۰/۱۱۷۶	۰	۱/۶۸۲	۰	۱۲		
۶/۳۴ ± ۰/۴	۵۷/۴± ۰/۱	۵/۴۵ ± ۰/۰۹	۸/۱۶ ± ۰/۳	۱/۰۶۱	۰/۲۹۹	۰/۱۱۷۶	-۱/۶۸۲	۰	۰	۱۳		
۴/۶۳ ± ۰/۰۵	۵۷/۳ ± ۰/۱	۲۴/۴ ± ۰/۴۶	۱۲/۳۹ ± ۰/۵	۲/۲۳	۰/۲۹۹	۰/۱۱۷۶	۱/۶۸۲	۰	۰	۱۴		
۶/۲ ± ۰/۴	۵۷/۲۶ ± ۰/۶	۱۲ ± ۰/۱۸	۷/۸ ± ۰/۵	۱/۶۵	۰/۲۹۹	۰/۱۱۷۶	۰	۰	۰	۱۵		
۶/۳± ۰/۰۳	۵۷/۲۴± ۰/۲	۱۳/۳۳ ± ۰/۵۱	۹/۰ ۹ ± ۰/۵	۱/۶۵	۰/۲۹۹	۰/۱۱۷۶	۰	۰	۰	۱۶		
۶/۱± ۰/۰۶	۵۷/۵± ۰/۴	۱۳ ± ۰/۲۶	۷/۱۴ ± ۰/۲۵	۱/۶۵	۰/۲۹۹	۰/۱۱۷۶	۰	۰	۰	۱۷		
۵/۹۹± ۰/۰۵	۵۷/۳± ۰/۳	۱۳ ± ۰/۲	۷/۱۴ ± ۰/۵	۱/۶۵	۰/۲۹۹	۰/۱۱۷۶	۰	۰	۰	۱۸		

* اعداد به صورت میانگین ± انحراف استاندارد آورده شده است

جدول ۴ - نتایج تجزیه واریانس بررسی تأثیر نانوذرات دیاکسید تیتانیم، نانوکریستال سلولز و گلیسروول بر میزان جذب رطوبت و انحلال پذیری فیلم‌ها در آب

سطح احتمال	میزان انحلال پذیری در آب				میزان جذب رطوبت				منبع تغییرات
	F	درجه آزادی	ضرایب رگرسیون	P	F	درجه آزادی	ضرایب رگرسیون		
۰/۲۰۷۴۲۹	۱/۸۸۱۲۱۱	۱	۳۰/۰۷	۰/۴۴۴۳۴۴	۰/۶۴۷۲۵۵	۱	-۴۸/۴۲۲۰۳	X ₁	
۰/۲۸۸۷۱۳	۱/۲۹۱۲۲۸	۱	-۸۶/۸۵	* ۰/۰۳۷۷	۶/۱۸۴۹۶۹	۱	-۵۱/۷۷۸۹۸	X ₂	
* ۰/۰۱۸۷۸۸	۸/۶۲۷۶۱۳	۱	-۳۸/۱۵	* ۰/۰۱۸۶۳۸	۸/۶۵۸۳۷۴	۱	-۲۸/۵۴۷۲۶	X ₃	
۰/۸۳۵۴۳۷	۰/۰۴۶۰۶	۱	-۵۷/۲۸	** ۰/۰۱۵۸۵	۲۱/۸۸۷۷۳	۱	۳۶۶/۴۶۲۹	X ₁ ²	
۰/۸۹۲۰۹۴	۰/۰۱۹۶۱	۱	۱۸/۴۸	۰/۳۶۹۶۷۳	۰/۹۰۳۵۰۳	۱	۳۶/۸۱۷۸۲	X ₁ X ₂	
۰/۶۸۳۷۹۴	۰/۱۷۸۴۹۸	۱	-۲۸/۳۵	۰/۲۰۷۸۶۸	۱/۸۷۷۱۹۳	۱	-۲۶/۹۸۹۸	X ₁ X ₃	
* ۰/۰۲۳۲۳۹	۷/۸۳۲۶۳	۱	۱۱۵/۵۳	** ۰/۰۰۹۸۲	۲۵/۵۶۴۱۹	۱	۶۱/۲۴۹۳۹	X ₂ ²	
۰/۸۶۵۳۵	۰/۰۳۰۱۱۸	۱	۴/۵۸	۰/۶۶۹۵۷۷	۰/۱۹۶۱۵۱	۱	۳/۴۳۰۹۷۹	X ₂ X ₃	
۰/۱۸۸۲۰۶	۲/۰۶۹۶۳۸	۱	۱۵/۳۵	* ۰/۰۱۱۳۷۲	۱۰/۶۸۶۸۴	۱	۱۰/۲۴۲۷	X ₃ ²	
۰/۱۱۶۰۷۹	۲/۳۹۹۰۸	۹	-	** ۰/۰۰۶۶۷	۶/۷۱۵۲۲۷	۹	-	مدل	
* ۰/۰۵۳۸۹۱	۳/۹۳۴۳۵۲	۳	-	* ۰/۰۲۸۲۱۷	۵/۱۶۳۵۳۲	۳	-	اثر خطی	
* ۰/۰۸۴۳۱۶	۳/۱۸۷۸۱۳	۳	-	** ۰/۰۰۱۵۰۹	۱۳/۹۸۹۸۷	۳	-	اثر درجه دوم	
۰/۹۷۱۱۶۹	۰/۰۷۶۰۷۵	۳	-	۰/۴۴۴۱۳۸	۰/۹۹۲۲۸۲	۳	-	اثر مقابل	
-	-	۸	-	-	-	۸	-	باقی مانده	
۰/۰۰۹۰۶۵	۳۰/۲۱۳۱۴	۵	-	۰/۲۰۲۷۹۲	۲/۹۲۸۲۷۹	۵	-	عدم تطبیق	
-	-	۳	-	-	-	۳	-	داده‌ها با مدل	
-	-	-	۷۲/۹۷	-	-	-	۸۸/۳۱	خطای خالص	
-	-	-	۴۲/۵۵	-	-	-	۷۵/۱۶	R ²	
								R ² _{adj}	

** اختلاف معنی‌دار در سطح احتمال ۱ درصد و * اختلاف معنی‌دار در سطح احتمال ۵ درصد

زیست نانوکامپوزیت می‌شود و تأثیر CNC در کاهش میزان جذب رطوبت بیشتر از تأثیر TiO₂ است. کاهش جذب آب بر اثر CNC می‌تواند اولاً به بالا بودن مقاومت CNC در برابر آب به دلیل ساختار بهشتی کریستالی آن و ثانیاً به تشکیل شدن پیوندهای قوی هیدروژنی بین گروههای هیدروکسیل نشاسته، PVOH و CNC که گروههای OH آزاد نشاسته را کاهش می‌دهند نسبت داده شود (Cao *et al.*, 2008b; Ghanbarzadeh *et al.*, 2010).

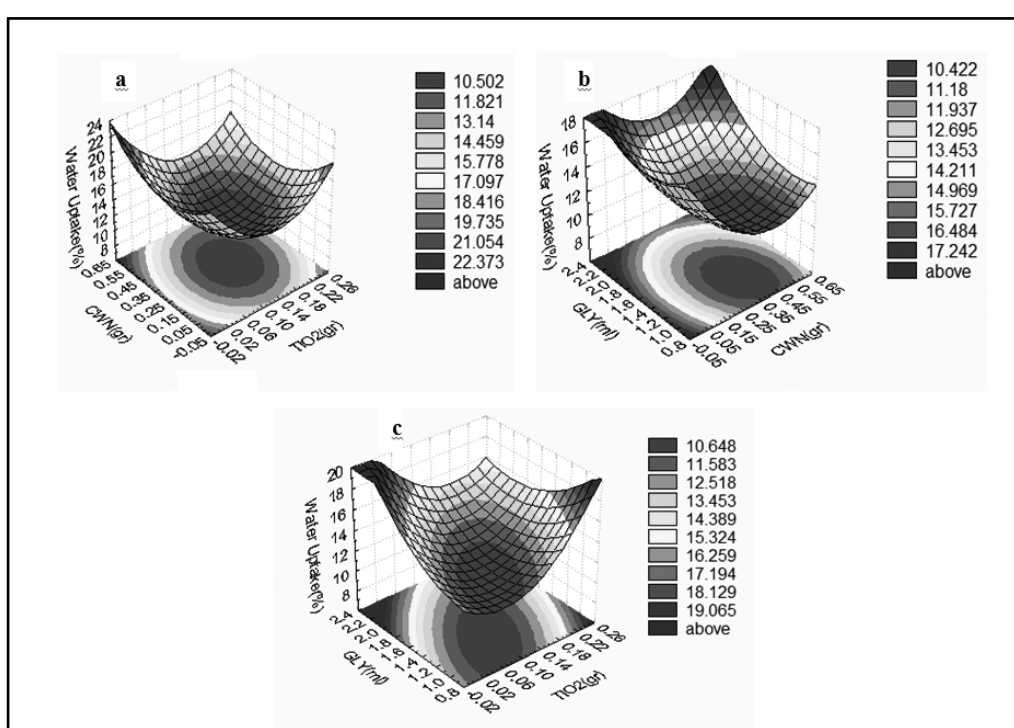
تأثیر کمتر در کاهش میزان جذب آب فیلم در غلظت‌های بالای نانوذره، نسبت به غلظت‌های متوسط، احتمالاً به دلیل ایجاد ممانعت نانوذرات بر پخش هم迪گر و توزیع

برای نمایش تغییرات میزان جذب رطوبت با تغییرات متغیرهای مستقل، سه منحنی سطح پاسخ سه بعدی در شکل ۲ آورده شده‌اند که در آنها متغیر وابسته (میزان جذب رطوبت) در مقابل دو متغیر مستقل، در مقادیر مرکزی متغیر سوم، رسم شده‌اند. همچنان که در شکل ۲-a مشاهده می‌شود، غلظت TiO₂ و CNC به صورت ۲- درجه دوم بر میزان جذب رطوبت تأثیرگذار هستند و شکل نمودار به صورت مینیمم است که در مقادیر متوسط TiO₂ (۰/۰۸-۰/۲۰ گرم) و مقادیر متوسط CNC، حداقل جذب رطوبت مشاهده می‌شود. با توجه به شکل، استفاده توأم CNC و TiO₂ باعث بهبود خواص جذب رطوبت

خصوصیات فیزیکی بیوفیلم‌های کیتوزان اصلاح شده نشان می‌دهد که افزودن نانوذرات نقره به فرمولاسیون محلول تشکیل‌دهنده فیلم موجب افزایش درصد جذب آب خواهد شد. این محققان اعلام می‌کنند، حضور نانوذرات نقره در ساختار زیست نانوکامپوزیت باعث کاهش تراکم اتصالات عرضی و در نتیجه کاهش پیوستگی ماتریس فیلم کیتوزان می‌شود و بدین ترتیب میزان جذب آب و آهنگ تورم فیلم در اثر جذب آب افزایش می‌یابد که ممکن است در مورد نانوذرات دیاکسید تیتانیم هم صادق باشد. مقدار بهینه برای متغیرهای غلظت TiO_2 و GLY به ترتیب در محدوده $0\text{--}0.2\text{ g/L}$ و $0\text{--}0.02\text{ g/L}$ بود.

با استفاده از مدل RSM برای ایجاد حداقل میزان جذب رطوبت فیلم‌ها، مقدار بهینه نانوذرات TiO_2 ، 0.118 g/L ، نانوکریستال سلولز، 0.30 g و گلیسرول، $1/36\text{ میلی لیتر}$ تعیین شد.

غیریکنواخت در غلظت‌های بالاتر نانوذره به دلیل تجمع و انبوه شدن آنها در ماتریکس زیست پلیمری است. همان‌طور که در شکل ۲-۲ مشاهده می‌شود، CNC و GLY به صورت درجه دوم بر میزان جذب رطوبت تأثیرگذارند و شکل نمودار به صورت مینیمم یک‌طرفه است. در حداقل میزان گلیسرول و مقادیر متوسط CNC، حداقل جذب آب مشاهده می‌شود. با افزایش غلظت گلیسرول، میزان جذب رطوبت افزایش می‌یابد که به افزایش فاصله بین زنجیره‌ها و حجم آزاد نسبت داده می‌شود. در غلظت‌های پایین و بالای CNC، اثر افزایش گلیسرول بر افزایش جذب مشهودتر است. شکل ۲-۳ مینیمم گوشه‌ای است، به عبارت دیگر در سطوح پایین گلیسرول و سطوح متوسط به پایین TiO_2 ، حداقل جذب رطوبت مشاهده می‌شود. نتایج بررسی‌های لیو و هانگ (Liu & Huang, 2008) در مورد تأثیر نانوذرات نقره بر



شکل ۲- نمودار سطح پاسخ تأثیر سطوح مختلف: (a) GLY و TiO_2 و CNC؛ (b) CNC و GLY ؛ و (c) CNC و TiO_2 و GLY (۰/۱۷۶ گرم)، بر میزان جذب رطوبت (۰/۲۹۹ گرم) (Liu & Huang, 2008)

وابسته (میزان انحلال پذیری در آب) را نشان دهد و پیش‌بینی کند و بهمین دلیل از ارائه مدل خودداری شد. با توجه به مقادیر P و F در جدول تجزیه واریانس (جدول ۴)، تأثیرات خطی و درجه دو اجزای مدل X_3 و X_2^2 ($P < 0.05$) معنی دار است و به عبارت دیگر، میزان غلظت CNC به صورت درجه دوم و GLY به صورت خطی روی میزان انحلال پذیری تأثیرگذار هستند.

برای نمایش تغییرات میزان انحلال پذیری با تغییرات متغیرهای مستقل، سه منحنی سطح پاسخ سه بعدی در شکل ۳ آورده شده است که در آنها متغیر وابسته (میزان انحلال پذیری در آب) در مقابل دو متغیر مستقل، در مقادیر مرکزی متغیر سوم، رسم شدند. همچنان که در شکل ۳-a مشاهده می‌شود، غلظت CNC به صورت درجه دوم بر میزان انحلال پذیری در آب تأثیرگذار است. مطابق شکل، با افزایش غلظت CNC و TiO_2 ، میزان TiO_2 و CNC انجام پذیری کاهش می‌یابد و استفاده توأم CNC و TiO_2 باعث بهبود خواص انحلال پذیری زیست نانو کامپوزیت حاصل می‌شود و تأثیر CNC در کاهش میزان انحلال پذیری بیشتر از تأثیر TiO_2 است. هرچه تعداد پیوندها و بهم فشردنگی زنجیرها در پلیمر یا زیست پلیمر بیشتر باشد، میزان موادی که می‌توانند در آب حل و خارج شوند، کمتر خواهد بود. نانوذرات در غلظت مناسب با قرارگیری در بین زنجیرهای نشاسته و برقراری پیوند با آنها، قادر هستند شبکه بهم پیوسته و یکپارچه‌ای تشکیل دهند که در مقابل گستگی و انحلال پذیری ناشی از نفوذ آب، از خود مقاومت نشان می‌دهد. کاهش انحلال پذیری ماتریکس نشاسته با افزودن CNC، مربوط است به اثر تثبیت کننده نانوذرات سلولز روی ماتریکس که با تشکیل شبکه سه‌بعدی، حل شدن ماتریکس پلیمری را در آب به میزان بسیار زیاد محدود می‌سازد (Das *et al.*, 2010) (Noushirvani *et al.*, 2011) میزان انحلال پذیری فیلم PS-PVOH حاوی مقادیر مختلفی از CNC را اندازه‌گیری

نتایج بهینه‌سازی انحلال پذیری در آب

یکی از فاکتورهای مهم کیفی در خصوص مواد مورد استفاده برای بسته‌بندی محصولات غذایی، انحلال پذیری در آب است. پلیمر یا بیوپلیمری که برای بسته‌بندی مواد غذایی به کار می‌رود باید کمترین حساسیت را نسبت به رطوبت داشته باشد. و گرنه در مدت زمان انبارداری کارایی خود را از دست می‌دهد و نمی‌تواند از بروز فسادهای میکروبی و شیمیایی در ماده غذایی درون خود، جلوگیری کند. حساسیت نسبت به رطوبت و انحلال پذیری بالاتر نسبت به پلیمرهای سنتزی، یکی از معایب اصلی زیست پلیمرها است و بهمین دلیل، برای آنکه این زیست پلیمرها جایگزین پلیمرهای سنتزی بشوند باید این عیب در آنها تا حد قابل قبولی رفع شود.

نتایج آزمایش‌های مرحله بهینه‌سازی تأثیر نانوذرات دی‌اکسید تیتانیم، نانوکریستال سلولز و گلیسرول روی میزان انحلال پذیری که میانگین سه تکرار است در جدول ۲ آورده شده است. با توجه به نتایج جدول ۲، کمترین میزان انحلال پذیری در آب به میزان ۳/۹۷ درصد در نمونه شماره ۱۰ (با مشخصات TiO_2 : ۰/۲۳۵ گرم، CNC: ۰/۲۹۹ گرم و GLY: ۱/۶۵ میلی لیتر) و بیشترین میزان انحلال پذیری در آب به میزان ۳۲/۹۱ درصد در نمونه ۸ (با مشخصات TiO_2 : ۰/۱۸۷۶ گرم، CNC: ۰/۴۷۷ گرم و GLY: ۲ میلی لیتر) مشاهده می‌شود.

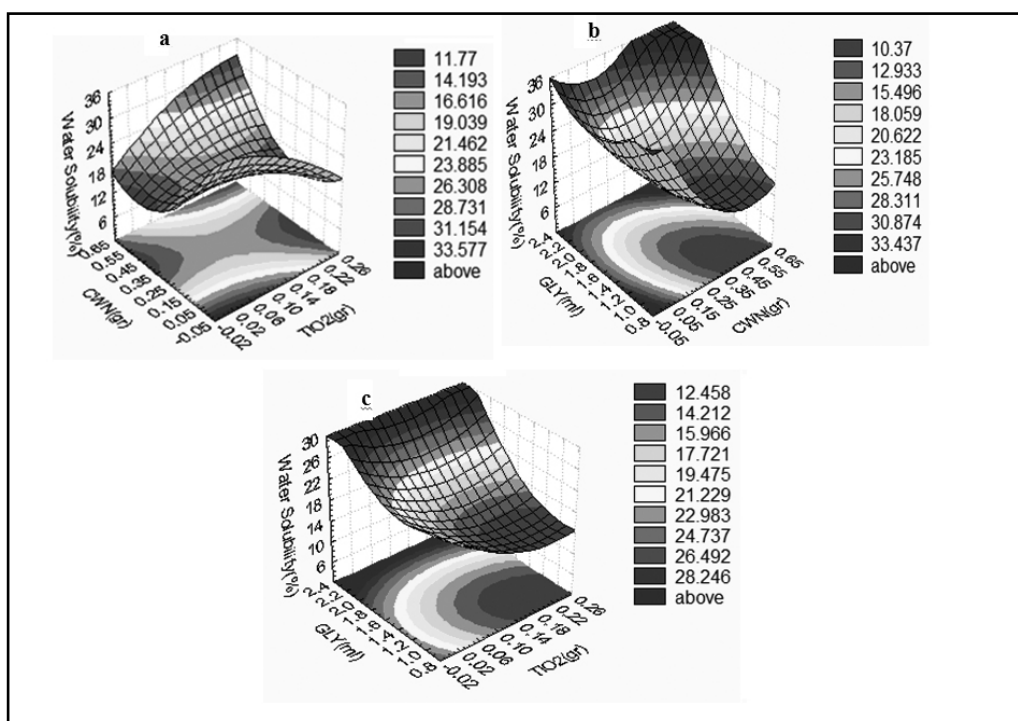
نتایج تجزیه و تحلیل واریانس برای میزان انحلال پذیری در آب در مرحله بهینه‌سازی در جدول ۴ نشان داده شده است. با توجه به مقادیر P برای مدل $(P > 0.05)$ و برای عدم برازش داده‌ها با مدل (0.009) ، مدل کارایی لازم با داده‌های آزمایشی را ندارد. همچنین مقدار عددی ضریب تبیین (R^2_{adj}) برای مدل رگرسیونی پایین است (۴۲/۵۵ درصد). بنابراین مدل رگرسیونی نمی‌تواند رابطه بین متغیرهای مستقل (نانوذرات دی‌اکسید تیتانیم، نانوکریستال سلولز و گلیسرول) و متغیر

بدین ترتیب انحلال پذیری به طور معنی‌دار افزایش می‌یابد. در نمودار ۳-۳، در سطوح پایین گلیسروول و متوسط به بالای TiO_2 ، حداقل انحلال پذیری مشاهده می‌شود و مقادیر بهینه برای متغیرهای TiO_2 و GLY به ترتیب در محدوده غلظت ۰/۱۲-۰/۲۶ گرم و ۰/۸-۰/۵ میلی‌لیتر وجود دارد. نتیجه مشابهی در مورد اثر افزودن نانوذرات TiO_2 تا سطح ۱ درصد، بر انحلال پذیری فیلم‌های نانوبیوکامپوزیتی پروتئین‌های آب پنیر گزارش شده است (Li *et al.*, 2011).

اولیاچی (Oleyaci, 2012) میزان انحلال پذیری فیلم نشاسته حاوی مقادیر مختلفی از TiO_2 را اندازه‌گیری و مشاهده کردند که با افزودن ۰/۵٪ ۱ و ۲ درصد میزان انحلال پذیری به ترتیب از ۰/۷-۰/۰ ۲۷/۵۵ درصد به ۰/۴۸-۰/۴۸ درصد کاهش می‌یابد.

کرد و دریافت که با افزودن ۳، ۱۵ و ۲۰ درصد CNC، میزان انحلال پذیری در آب به ترتیب از ۲۳/۸۹ ۱۲/۸۳، ۲۰/۸۵ و ۱۱/۹۲ درصد کاهش می‌یابد.

همان‌طور که در شکل b ۳- دیده می‌شود، CNC به صورت درجه دوم بر میزان انحلال پذیری تأثیرگذار است و شکل نمودار به صورت مینیمم یک‌طرفه است. در غلظت‌های بالای CNC (۰/۳۰-۰/۶۵ گرم) و غلظت‌های پایین GLY (۰/۸-۰/۵ میلی‌لیتر)، میزان انحلال پذیری در حد مینیمم است و با افزایش CNC این میزان کاهش می‌یابد. گلیسروول در غلظت‌های پایین فقط فضای خالی بین زنجیرهای بیopolymer را پر می‌کند و قادر به ایجاد فاصله بین آنها نیست (اثر ضد نرم‌شوندگی) و با افزایش غلظت، موجب فاصله گرفتن زنجیرهای پلیمر از هم شده و حجم آزاد افزایش می‌یابد و



شکل ۳- نمودار سطح پاسخ تأثیر سطوح مختلف: (a)، CNC و TiO_2 (GLY: ۱/۶۵ میلی‌لیتر)، (b)، CNC و TiO_2 (GLY: ۰/۲۹۹ گرم)، و (c)، CNC و GLY (۰/۱۱۷۶: TiO_2) بر میزان انحلال پذیری در آب

نتایج تجزیه و تحلیل واریانس بر میزان روشنایی و اندیس زردی در مرحله بهینه‌سازی در جدول ۵ نشان داده شده است. با توجه به مقادیر P برای مدل ($P > 0.05$) برای میزان روشنایی، مدل کارایی لازم را برای داده‌های آزمایشی ندارد. همچنین مقدار عددی ضریب تبیین (R^2_{adj}) برای مدل رگرسیونی به دست آمده برابر ۳۵/۶۶ درصد است. بنابراین مدل رگرسیونی نمی‌تواند رابطه بین متغیرهای مستقل (نانوذرات دی‌اکسید تیتانیم، نانوکریستال سلولز و گلیسرول) و متغیر وابسته (میزان روشنایی) را به خوبی نشان دهد و پیش‌بینی کند.

با توجه به مقادیر P برای مدل ($P < 0.05$) و عدم برآش داده‌ها با مدل (۰/۰۵۳) برای اندیس زردی، تأییدی بر برآش خوب مدل با داده‌های آزمایشی دارد. مقدار عددی ضریب تبیین (R^2_{adj}) برای مدل رگرسیونی به دست آمده ۶۸/۳۹ درصد است. با توجه به مقادیر P و F در جدول تجزیه واریانس (جدول ۵) تأثیرات خطی و درجه دوم اجزای مدل X_2 ($P < 0.01$), X_2^2 و $X_1 X_3$ ($P < 0.05$) معنی‌دار است و به عبارت دیگر، میزان غلظت CNC به صورت خطی و درجه دوم و اثر متقابل TiO_2 -GLY تأثیر معنی‌داری بر اندیس زردی دارد.

مدل خلاصه شده به دست آمده برای پیش‌بینی تأثیر نانوذرات دی‌اکسید تیتانیم، نانوکریستال سلولز و گلیسرول بر میزان اندیس زردی بعد از حذف عوامل غیرمعنی‌دار، برابر رابطه ۶ به دست می‌آید:

$$Y = ۱۴/۹۵ + ۰/۲۷ X_2 + ۳۲/۹۷ X_1 X_3 - ۱۹/۵۶ X_2^2 \quad (6)$$

نتایج بهینه‌سازی خصوصیات رنگی

رنگ و شفافیت فیلم‌های خوراکی، نقش مهمی در ظاهر و میزان پذیرش آنها دارد. به طور کلی، هرچه شفافیت فیلم‌های زیست پلیمری بالاتر و به پلاستیک‌های حاصل از پلیمرهای سنتزی نزدیکتر باشد، پذیرش و استفاده از این نوع مواد بسته‌بندی بیشتر خواهد شد. در بسته‌بندی اکثر مواد غذایی معمولاً ترجیح داده می‌شود که پلیمر مورد استفاده بی‌رنگ و کاملاً شفاف باشد تا تأثیری بر ظاهر محصول نداشته باشد و ویژگی‌های ظاهری محصول بسته‌بندی شده را به طور کامل نشان دهد. نشاسته فیلم‌هایی با ظاهر نسبتاً نامطلوب تولید می‌کند. رنگ فیلم خالص نشاسته، متمایل به زرد است؛ این نوع فیلم حالت ابری دارد و کدر است که باعث کاهش شفافیت و جلای این فیلم می‌شود. بنابراین بسته‌بندی مواد غذایی با چنین فیلمی هرگز نمی‌تواند رضایت مصرف‌کننده را جلب کند.

نتایج آزمایش‌های مرحله بهینه‌سازی تأثیر نانوذرات دی‌اکسید تیتانیم، نانوکریستال سلولز و گلیسرول بر میزان پارامتر روشنایی (L) و اندیس زردی (YI)، در جدول ۲ آورده شده است. این جدول کمترین روشنایی را به میزان ۰/۱۸۷۶ در نمونه شماره ۵ (با مشخصات TiO_2 : ۰/۰۵۶، CNC: ۰/۱۲۱ گرم و GLY: ۱/۳ میلی‌لیتر) و بیشترین روشنایی را در نمونه شماره ۱۱ به میزان ۰/۱۱۷۶ (با مشخصات TiO_2 : ۰/۰۰۰ گرم، CNC: ۰/۱۱۷۶ گرم و GLY: ۰/۱۶۵ میلی‌لیتر) نشان می‌دهد. همچنین کمترین اندیس زردی به میزان ۱/۳ در نمونه شماره ۱۱ (با مشخصات TiO_2 : ۰/۱۱۷۶ گرم، CNC: ۰/۱۱۷۶ گرم و GLY: ۰/۱۶۵ میلی‌لیتر) و بیشترین اندیس زردی به میزان ۱۰/۱۹ در نمونه شماره ۸ (با مشخصات TiO_2 : ۰/۰۰۰ گرم، CNC: ۰/۱۸۷۶ گرم و GLY: ۲ میلی‌لیتر) مشاهده می‌شود.

بررسی تأثیر استفاده توأم از نانوذرات دیاکسید...

جدول ۵- نتایج تجزیه واریانس بررسی تأثیر نانوذرات دیاکسید تیتانیم، نانوکریستال سلولز و گلیسروول بر میزان YI و L

P _{YI}	P _L	درجه آزادی	منبع تغییرات
۰/۱۸۶۸۱۹	۰/۲۳۵۷۷۹	۱	X ₁
**۰/۰۰۱۳۰۸	۰/۳۰۷۲۰۳	۱	X ₂
۰/۷۲۴۰۹۵	۰/۹۱۸۹۴۲	۱	X ₃
۰/۳۱۵۷۸۹	۰/۷۶۲۵۲۹	۱	X ₁ ²
۰/۱۶۸۴۰۴	۰/۸۰۰۴۷۸	۱	X ₁ X ₂
*۰/۰۶۳۳۰۷	۰/۸۵۶۵۳۵	۱	X ₁ X ₃
*۰/۰۷۲۴۹	۰/۴۵۶۷۴۹	۱	X ₂ ²
۰/۲۷۴۴۶۷	۰/۶۶۲۸۸۵	۱	X ₂ X ₃
۰/۷۹۴۰۶۶	۰/۳۳۷۱۷	۱	X ₃ ²
*۰/۰۱۴۹۸۸	۰/۸۳۶۵۹۷	۹	مدل
**۰/۰۰۰۹۳۱	**۰/۰۰۷۳۱۹	۳	اثر خطی
۰/۲۳۳۴۷۳	۰/۷۱۷۸۵۳	۳	اثر درجه دوم
-	۰/۹۵۶۲۱۲	۳	اثر متقابل
-	-	۸	باقی مانده
۰/۰۵۳۴۱۶	۰/۸۵۷۷۵۶	۵	عدم تطابق داده ها با مدل
%۶۵/۷۳	%۳۲/۱۶	-	R ²
%۶۸/۳۹	%۳۵/۶۶	-	R ² _{adj}

** اختلاف معنی دار در سطح احتمال ۱ درصد، و * اختلاف معنی دار در سطح احتمال ۱ درصد

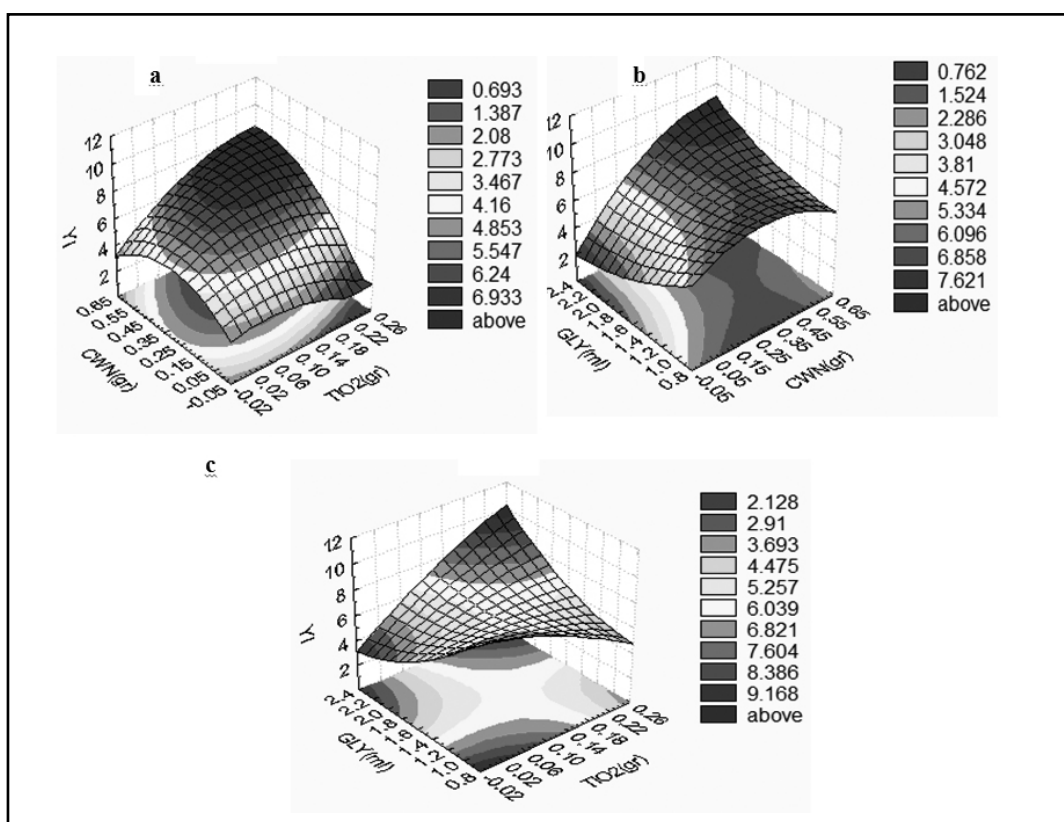
به ماتریکس نشاسته و بالا بردن غلظت آن، مشاهده کردن که اندیس سفیدی با افزایش میزان TiO₂ از صفر به ۲ درصد، به طور معنی دار از ۲۸/۳۵ به ۶۱/۱۴ افزایش می یابد. اما بر خلاف اندیس سفیدی، اندیس زردی با افزایش غلظت TiO₂ از صفر به ۵/۰ درصد، به طور مشخصی از ۱/۴۷- به ۳۲/۲- کاهش و با افزایش غلظت TiO₂ به ۲ درصد، به ۱۹/۱۷- افزایش می یابد. پخش نانوذرات TiO₂ در ماتریکس نشاسته موجب افزایش قابل توجه سفیدی و روشنایی فیلم ها می شود، که نشان دهنده قدرت زیاد سفید کنندگی این نانوذره و احتمالاً به دلیل تفرق نور و پوشاندن مؤثر رنگ زرد بر اثر نانوذرات TiO₂ است (Taskaya *et al.*, 2010). همان طور که در شکل b- ۴- دیده می شود در غلظت پایین و بالای

برای نمایش تغییرات میزان اندیس زردی با تغییرات متغیرهای مستقل، سه منحنی سطح پاسخ سه بعدی در شکل ۴ آورده شده است که در آنها متغیر وابسته (میزان YI) در مقابل دو متغیر مستقل، در مقادیر مرکزی متغیر سوم، رسم شدند. همچنان که در شکل a- ۴- مشاهده می شود، با افزایش غلظت TiO₂ و CNC، میزان YI به ترتیب کاهش و افزایش می یابد. در غلظت های بالای CNC، با افزایش غلظت TiO₂ و در غلظت های بالای TiO₂ با افزایش YI افزایش می یابد. CNC، میزان YI افزایش غلظت CNC، میزان YI به طوری که در محدوده غلظت ۰/۱۴- ۰/۲۶- گرم و ۰/۴- ۰/۶۵- گرم CNC، میزان YI بیشینه است که نشان دهنده تأثیر بیشتر CNC، در مقایسه با TiO₂، بر YI است. اولیاً (Oleyaei, 2012) با افزودن نانوذرات TiO₂

افزایش غلظت نانوکریستال سلولز است. در شکل c، با افزایش غلظت TiO_2 و GLY، میزان YI کاهش می‌یابد. در غلظت بالای TiO_2 با افزایش غلظت گلیسرول و در غلظت بالای GLY با افزایش غلظت TiO_2 ، YI افزایش می‌یابد به طوری که در محدوده غلظت‌های ۰/۲۶ تا ۰/۲۴ گرم TiO_2 و ۲/۲ تا ۲/۴ میلی‌لیتر GLY، میزان YI بیشینه است.

با استفاده از مدل RSM برای ایجاد حداقل میزان اندیس زردی فیلم‌ها، مقادیر بهینه نانوذرات دی‌اکسید تیتانیم ۰/۲۳۵ گرم، نانوکریستال سلولز برابر صفر گرم و گلیسرول برابر ۱/۰۶ میلی‌لیتر تعیین شد.

گلیسرول، با افزایش غلظت CNC، میزان YI افزایش می‌یابد، به طوری که در محدوده غلظت ۰/۰۵ تا ۰/۵۲ گرم، YI بیشینه است. با افزایش غلظت GLY، میزان YI کاهش می‌یابد. در غلظت‌های بالای CNC با افزایش غلظت GLY، میزان YI افزایش می‌یابد، به طوری که در محدوده غلظت‌های ۰/۴۵ تا ۰/۶۵ گرم CNC و ۲ تا ۲/۴ میلی‌لیتر GLY، میزان YI بیشینه است. نوشیروانی و همکاران (2011, Noushirvani *et al.*, 2011) در بررسی تأثیر مقدار نانوکریستال سلولز بر رنگ فیلم بیوکامپوزیت نشاسته-PVOH، مشاهده کردند که با افزودن نانوکریستال سلولز به فیلم نشاسته-PVOH، پارامتر YI افزایش می‌یابد که این امر بیانگر افزایش زردی فیلم‌ها با



شکل ۴- نمودار سطح پاسخ تأثیر سطوح مختلف: (a)، (b) GLY و CNC (۰/۶۵ میلی‌لیتر)، (c) GLY و TiO_2 (۰/۲۹۹ گرم)، و (c) GLY و TiO_2 (۰/۱۱۷۶ گرم) بر میزان اندیس زردی

داده می‌شود. تأثیرات معنی‌دار خطی و درجه دو اجزای مدل X_1^2 , X_2^2 , X_3 , X_2 و X_3^2 ($P < 0.05$) برای جذب رطوبت با استفاده از روش سطح پاسخ تعیین و مشاهده می‌شود که استفاده توام CNC و TiO_2 باعث بهبود خواص جذب رطوبت زیست نانوکامپوزیت می‌گردد و تأثیر CNC در کاهش میزان جذب رطوبت بیشتر از تأثیر TiO_2 است. تأثیرات معنی‌دار خطی و درجه دو اجزای مدل X_3 و X_2^2 ($P < 0.05$) بر میزان انحلال‌پذیری CNC در آب با استفاده از روش سطح پاسخ تعیین و تأثیر در کاهش میزان انحلال‌پذیری زیست نانوکامپوزیت، بیشتر از تأثیر TiO_2 و استفاده توام CNC و TiO_2 باعث بهبود خواص انحلال‌پذیری زیست نانوکامپوزیت حاصل می‌گردد. تأثیرات معنی‌دار خطی و درجه دو اجزای مدل X_2 ($P < 0.05$) برای اندیس زردی فیلم‌ها با استفاده از روش سطح پاسخ تعیین و افزایش YI با افزایش غلظت CNC و کاهش YI با افزایش غلظت TiO_2 و گلیسرول مشاهده می‌شود.

نتیجه‌گیری

در این پژوهش، فیلم‌های زیست نانوکامپوزیت PS-PVOH حاوی مقادیر مختلف نانوذرات TiO_2 و CNC و گلیسرول تهیه و خواص گرمایی، رنگی و انحلال‌پذیری و جذب رطوبت بررسی و مقادیر بهینه آنها با RSM تعیین شد. آزمون DSC نشان می‌دهد که افزودن CNC به فیلم نشاسته- PVOH موجب افزایش دمای انتقال شیشه‌ای و دمای ذوب فیلم‌ها می‌گردد که به کاهش تحرک زنجیرهای نشاسته در نواحی بی‌شک (آمورف) (به علت پر شدن فضاهای خالی و برهم‌کنش‌های بین CNC و زنجیرهای نشاسته) و افزایش نظم یافته‌گی و اندازه بلورها (به دلیل اصلاح آرایش زنجیرهای)، نسبت داده می‌شود. در مقابل، افزودن سطح بالای TiO_2 به نشاسته- PVOH باعث کاهش دمای ذوب و افزایش دمای انتقال شیشه‌ای TiO_2 و CNC و خواهد شد و افزودن همزمان غلظت بالای TiO_2 به فیلم نشاسته- PVOH موجب کاهش دمای ذوب و افزایش دمای انتقال شیشه‌ای فیلم‌ها می‌گردد که این کاهش به اخلال در انتقال زنجیرها روی هسته‌ها نسبت

مراجع

- Almasi, H., Ghanbarzadeh, B. and Entezami, A. A. 2010. Physicochemical properties of starch-CMC-nanoclay biodegradable films. *Int. J. Biol. Macromol.* 46, 1-5.
- Angles, M. N. and Dufresne, A. 2001. Plasticized starch/tunicin whiskers nanocomposites. *Macromolecules*. 34, 2921-2931.
- Aziz Samir, M., Alloin, F. and Dufresne, A. 2005. Review of recent research into cellulosic whiskers, their properties and their application in nanocomposite field. *Biomacromolecules*. 6, 612-626.
- Bolin, H. R. and Huxsoll, C. C. 1991. Control of minimally processed carrot (*Dascus carota*) surface discoloration caused by abrasion peeling. *J. Food Sci.* 56, 416–418.
- Cao, X., Chen, Y., Chang, P. R., Muir, A. D. and Falk, G. 2008a. Starch-based nanocomposites reinforced with flax cellulose nanocrystals. *eXPRESS Polym. latters*. 2, 502-510.
- Cao, X., Chen, Y., Chang, P. R., Stumborg, M. and Huneault, M. A. 2008b. Green composites reinforced with hemp nanocrystals in plasticized starch. *J. Appl. Polym. Sci.* 109, 3804-3810.
- Chang, P. R., Ruijuan, J., Zheng, P., Yu, J. and Ma, X. 2010. Preparation and properties of glycerol plasticized starch (GPS) cellulose nanoparticle (CN) composites. *Carbohydr. Polym.* 79, 301-305.

- Chen, G., Dufresne, A., Huang, J. and Chang, P. R. 2009a. A novel thermoformable bionanocomposite based on cellulose nanocrystal-graft-poly (ecaprolactone). *Macromol. Mater. Eng.* 294, 59-67.
- Chen, Y., Liu, C., Chang, P. R., Anderson, D. P. and Huneault, M. A. 2009b. Pea starch based composite films with pea hull fibres and pea hull fiber derived nanowhiskers. *Polym. Eng. Sci.* 49(2): 369-378.
- Cheng, Q., Wang, S. and Rials, T. G. 2009. Poly(vinyl alcohol) nanocomposites reinforced with cellulose fibrils isolated by high intensity ultrasonication. *Composites.* 40, 218-24.
- Das, K., Ray, D., Banerjee, C., Bandyopadhyay, N. R., Sahoo, S., Mohanty, A. K. and Misra, M. 2010. Physicomechanical and thermal properties of jute nanofiber reinforced biocopolyester composites. *Ind. Eng. Chem. Res.* 49, 2775-2782.
- Ghanbarzadeh, B., Almasi, H. and Entezami, A. A. 2010. Physical properties of edible modified starch/carboxymethyl cellulose films. *Innov. Food Sci. Emerg. Technol.* 11, 697-702.
- Gontard, N., Duchez, C., Cuq, B. and Guilbert, S. 1994. Edible composite films of wheat gluten and lipids: water vapour permeability and other physical properties. *Food Sci. Technol.* 29, 39-50.
- Kvien, I., Sugiyama, J., Votrubec, M. and Oksmanbéc, K. 2007. Characterization of starch based nanocomposites. *J. Mater. Sci.* 42, 8163-8171.
- Li, Y., Jiang, Y., Liu, F., Ren, F., Zhao, G. and Leng, X. 2011. Fabrication and characterization of TiO₂/whey protein isolate nanocomposite film. *Food Hydrocolloid.* 25(6): 1-7.
- Liorens, A., Lloret, E., Picouet, P. A., Trbojevich, R. and Fernandez, A. 2012. Metallic-based micro and nanocomposites in food contact materials and active food packaging. *Trends Food Sci. Technol.* 24(1): 19-29.
- Liu, B. and Huang, T. B. 2008. Nanocomposites of genipin-crosslinked chitosan/silver nanoparticles-structural reinforcement and antimicrobial properties. *Macromol. Biosci. J.* 8, 932-941.
- Lu, Y., Weng, L. and Cao, X. 2005. Biocomposites of plasticized starch reinforced with cellulose crystallites from cottonseed linter. *Macromol. Biosci. J.* 5, 1101-1107.
- Mahshid, S., Sasani Ghamsari, M., Askari, M., Afshar, N. and Lahuti, S. 2006. Synthesis of TiO₂ nanoparticles by hydrolysis and peptization of titanium isopropoxide solution. *Semicond. Phys. Quantum Electron. Opto-Electron.* 9(2): 65-68.
- Majdzadeh, A. K. and Nazari, B. 2010. Improving the mechanical properties of thermoplastic starch /poly(vinyl alcohol)/clay. *Compos. Sci. Technol.* 70, 1557-1563.
- Mao, L., Imam, S., Gordon, S., Cinelli, P. and Chiellini, E. 2000. Extruded cornstarch glycerol polyvinyl alcohol blends: mechanical properties, morphology, and biodegradability. *J. Appl. Polym. Sci.* 8(4): 205-216.
- Noushirvani, N., Ghanbarzadeh, B. and Entezami, A. A. 2011. Study of the physical properties of starch-poly vinyl alcohol bionanocomposites contain cellulos nanocrystal and nanoclay. M. Sc. Thesis. Faculty of Agriculture. Tabriz University. Tabriz. Iran. (in Farsi)

- Oleyaei, A. 2012. Preparation and comparing of the physical properties of starch nanobiocomposites contain nanoclay and Titanium dioxide. M. Sc. Thesis. Faculty of Agriculture. Tabriz University. Tabriz. Iran. (in Farsi)
- Paralikar, S. A., Simonsen, J. and Lombardi, J. 2008. Poly vinyl alcohol/cellulose nanocrystal barrier membranes. *J. Membrane Sci.* 320, 248-258.
- Podsiadlo, P., Choi, S. Y., Shim, B., Lee, J., Cuddihy, M. and Kotov, N. A. 2005. Molecularly engineered nanocomposites: layer-by-layer assembly of cellulose nanocrystals. *Biomacromol.* 6(6): 2914-2918.
- Ramaraj, B. 2007. Crosslinkedpoly (vinyl alcohol) and starch composite films. II. physicomechanical, thermal properties and swelling studies. *J. Appl. Polym. Sci.* 103, 909-916.
- Roohani, M., Habibi, Y., Belgacem Naceur, M., Ebrahim, G., Karimi, A. N. and Dufresne, A. 2008. Cellulose whiskers reinforced polyvinyl alcohol copolymers nanocomposites. *Eur. Polym. J.* 44, 2489-2498.
- Shi, R., Zhang, Z. Z., Liu, Q. Y., Han, Y. M., Zhang, L. Q. and Chen, D. F. 2007. Characterization of citric acid/glycerol co-plasticized thermoplastic starch prepared by melt blending. *Carbohyd. Polym.* 69, 748-755.
- Siddaramaiah, R. B. and Somashekhar, R. 2004. Structure property relation in poly vinyl alcohol starch composites. *J. Appl. Polym. Sci.* 91(1): 630-635.
- Tao, Y., Pan, J., Yan, S., Tang, B. and Zhu, L. 2007. Tensile strength optimization and characterization of chitosan/TiO₂ hybrid film. *Mater. Sci. Eng. B.* 138, 84-89.
- Taskaya, L., Chen, Y. C. and Jaczynski, J. 2010. Color improvement by titanium dioxide and its effect on gelation and texture of proteins recovered from whole fish using isoelectric solubilization/ precipitation. *LWT-Food Sci. Technol.* 43, 401-408.
- Xiao-e, L., Green, A. N. M., Haque, S. A., Mills, A. and Durrant, J. R. 2004. Light-driven oxygen scavenging by titania/polymer nanocomposite films. *J. Photochem. Photobiol. A.* 162, 253-259.

Combined Use of Titanium Dioxide Nanoparticles and Nanocrystalline Cellulose on Thermal, Hydrophobic and Color Properties of Starch-PVOH Bionanocomposites

N. Jamshidi-Kaljahi, B. Ghanbarzadeh*, J. Dehghannia, A. A. Entezami and M. Sowti-Khiyabani

* Corresponding Author: Associated Professor, Department of Food Science and Technology, Faculty of Agriculture, University of Tabriz, P. O. Box: 51666-16471, Tabriz, Iran. E-mail: Ghanbarzadeh@tabrizu.ac.ir

Received: 1 May 2013, Accepted: 30 November 2013

The present study used a constant level of citric acid and polyvinyl alcohol and different amounts of nanocrystalline cellulose (CNC) and TiO₂ nanoparticles to improve the properties of starch film. The effect of different amounts of glycerol was also examined. The results of differential scanning colorimetry demonstrated that the addition of CNC increased the melting and glass transition temperatures and the addition of high levels of TiO₂ decreased the melting temperature and increased the glass transition temperature. The effects of these three compounds on the hydrophobicity and color of bionanocomposite plasticized starch were studied and their optimum values determined using a central composite design in response surface methodology. Water uptake data showed that the quadratic effect of TiO₂ concentration and the linear and quadratic effects of CNC and GLY concentrations were significant. The optimum levels for TiO₂, CNC and GLY for minimum water uptake were 0.118, 0.3 g and 1.36 ml, respectively. Quadratic CNC concentrations and linear glycerol concentrations were significant for water solubility. The optimum levels of TiO₂, CNC and GLY for minimum water solubility were 0.235, 0.30 g and 1.36 ml, respectively. The CNC concentration had linear and quadratic effects on the yellowness index (YI) of the bionanocomposite. There was a significant interaction between TiO₂ and GLY. The optimum levels of TiO₂, CNC and GLY for minimum YI were as 0.235, 0 g and 1.06 ml, respectively.

Keywords: Bionanocomposites, Nanocrystalline cellulose, Starch-PVOH, Thermal properties, Titanium dioxide